

Znečišt'ování přírodních vod II.

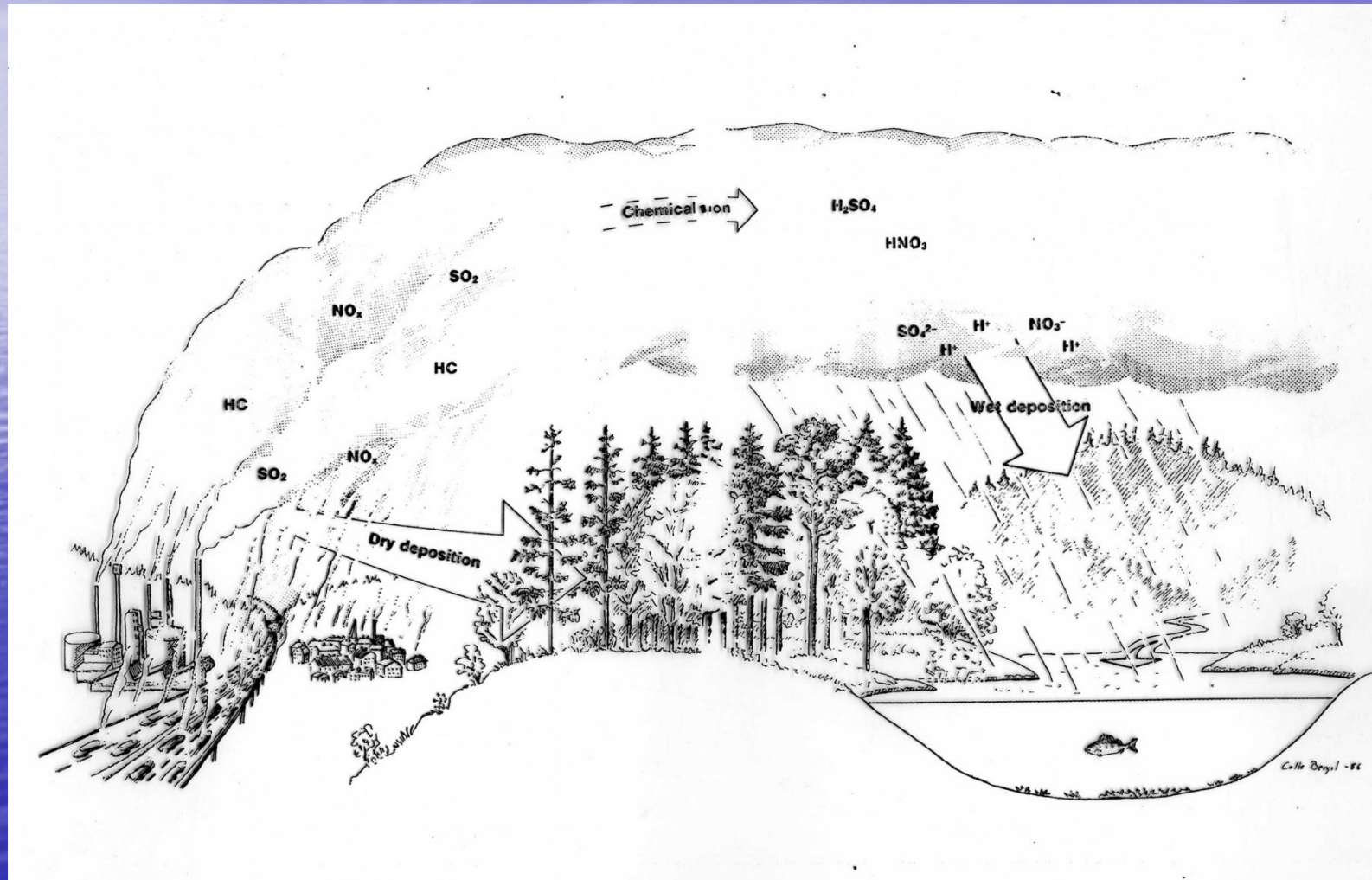
Globální znečištění

Znečišt'ování vod

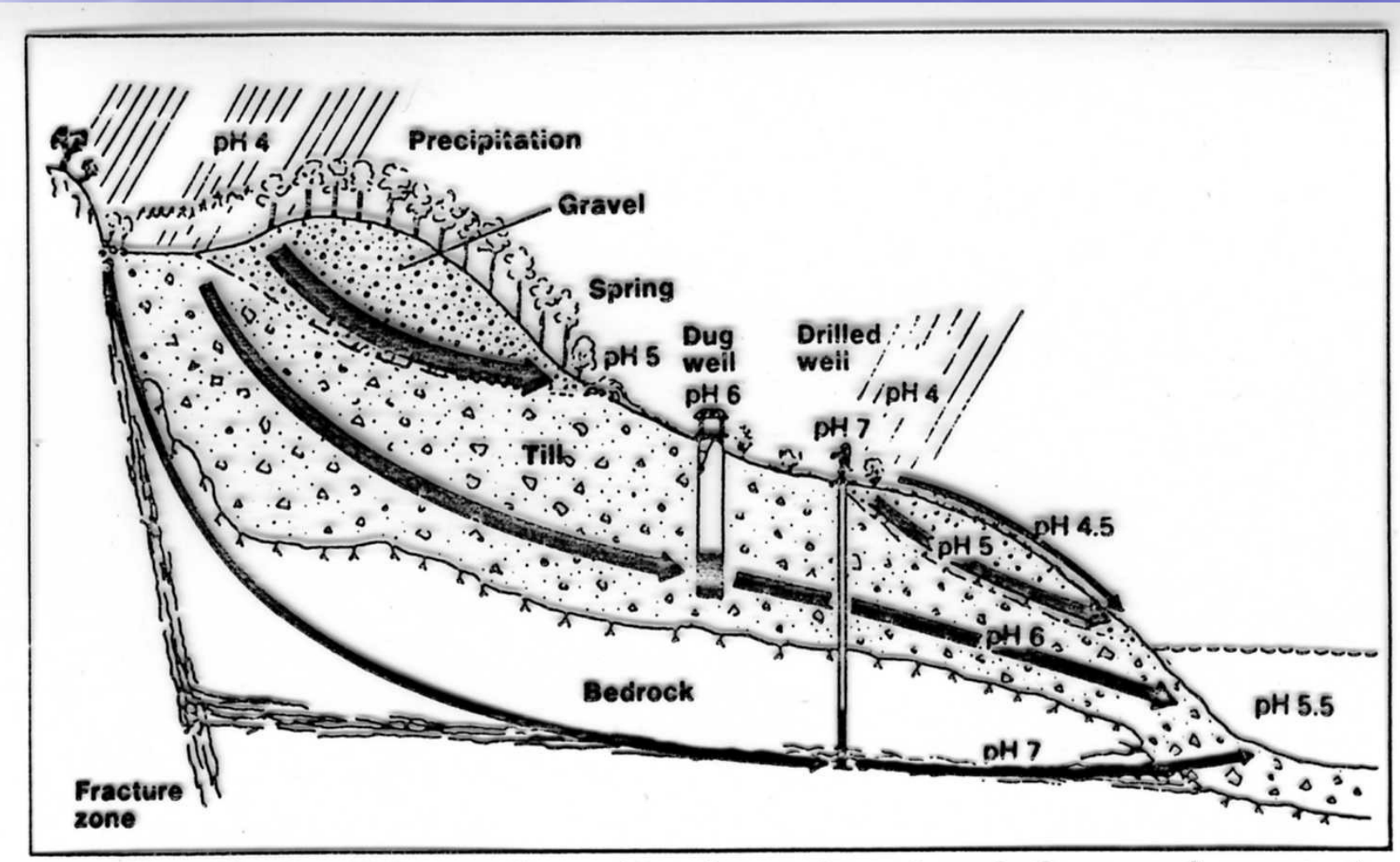
- Globální znečištění
 - Acidifikace vodních ekosystémů
 - Eutrofizace vodních ekosystémů
 - Globální oteplování
 - UV záření
 - Globální znečišťující látky a radionuklidы
- Lokální – bodové a liniové znečištění
 - Tepelné znečištění

Acidifikace vodních ekosystémů

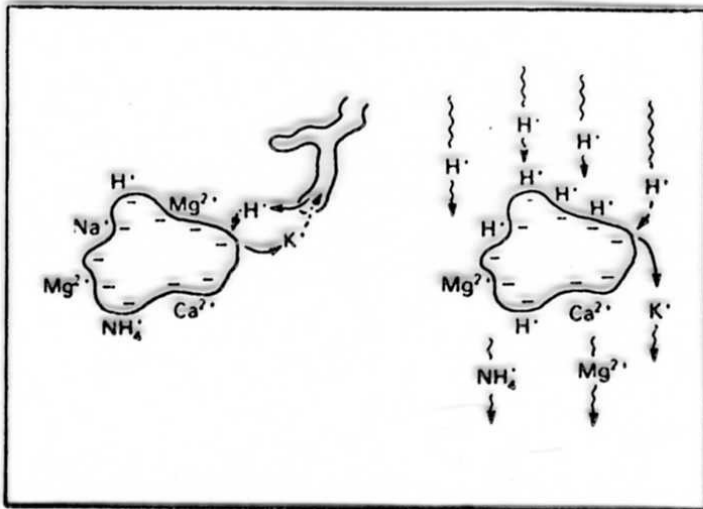
Identifikace zdrojů



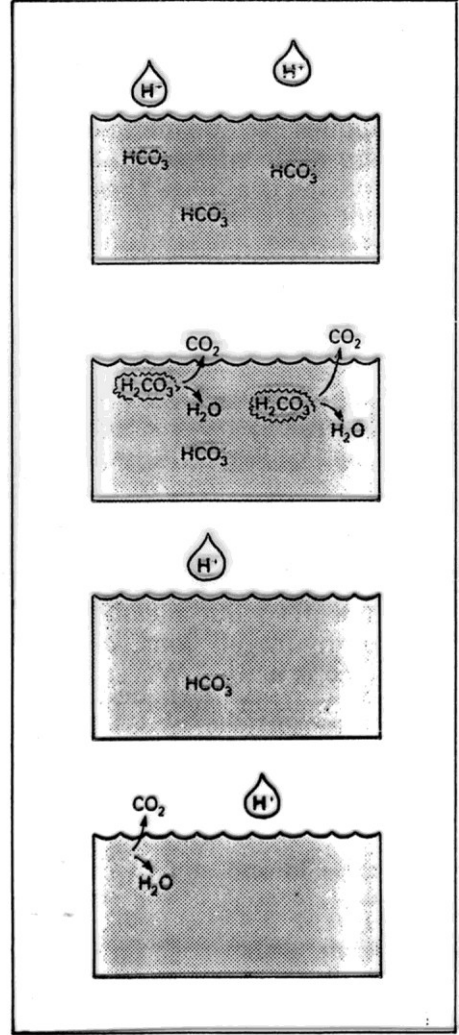
Acidifikace - procesy



Acidifikace - procesy

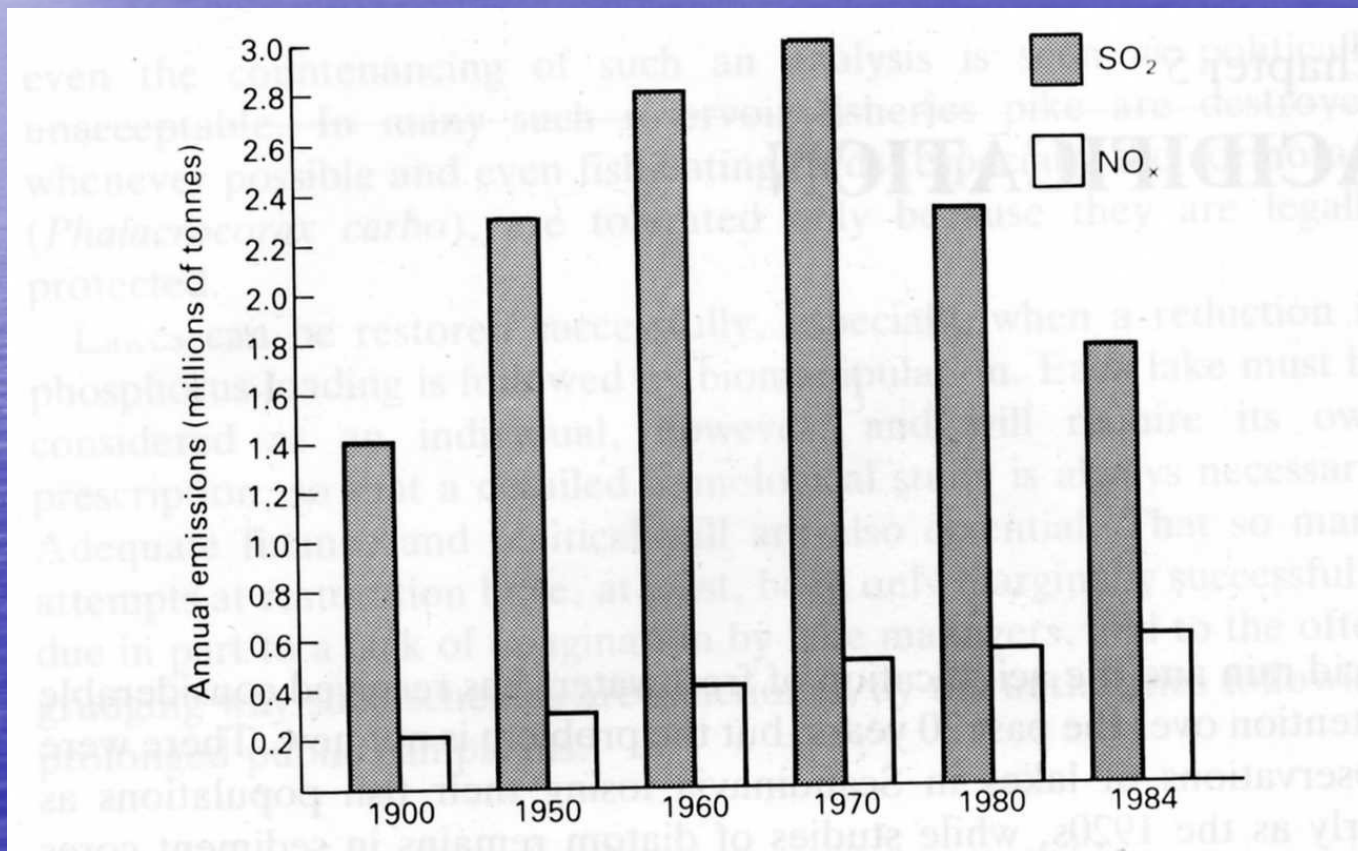


Normally great quantities of metallic ions such as calcium (Ca^{2+}) and magnesium (Mg^{2+}) are attached to the surface of the soil particles. Incoming hydrogen ions (H^+) detach the metal ions and attach themselves to the soil particles instead. Until this happens, the soil water is relatively well protected against acidification.

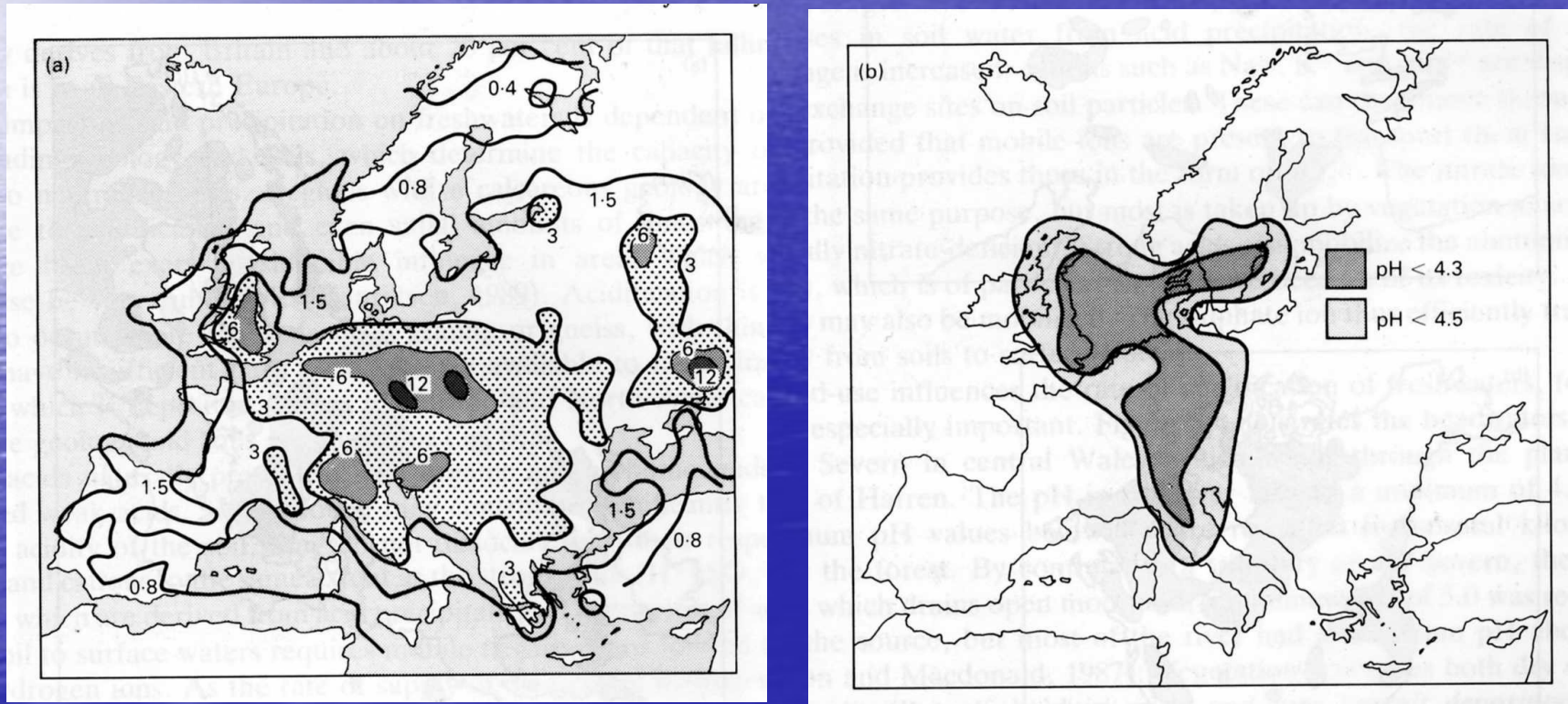


Acidification is held back by the natural buffering capacity of lake water. Inflowing hydrogen ions (H^+) react with the bicarbonate ions (HCO_3^-) of the water to form carbonic acid, which is weak and does not appreciably affect the pH value. A continued deposition of acid will however cause the water's defensive capacity to break down.

$\text{SO}_2 + \text{No}_x$ (N_2O , NO , NO_2)

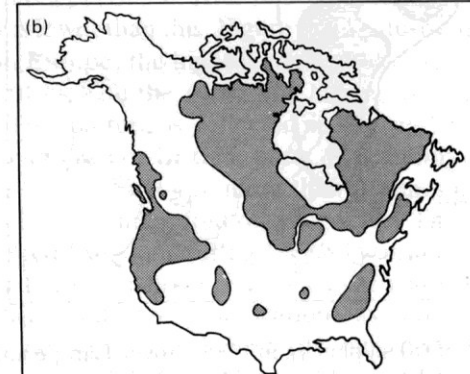
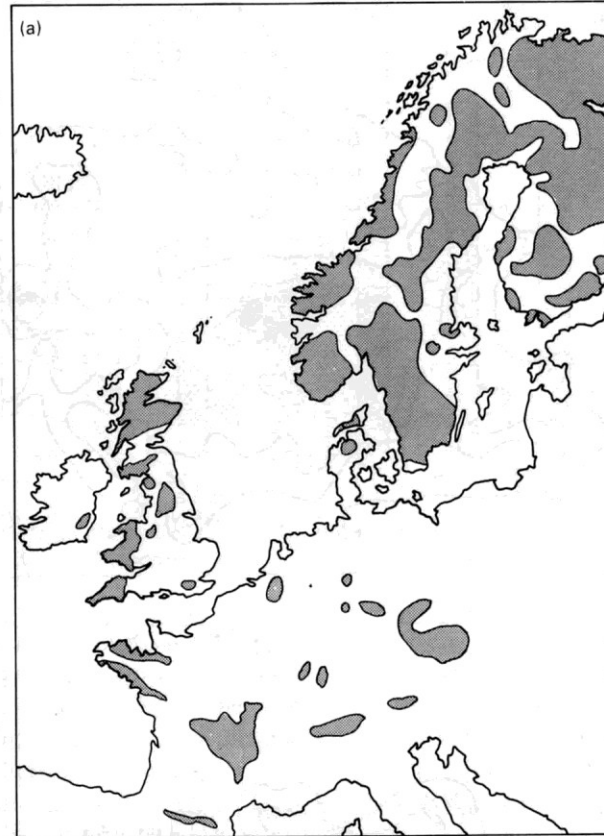


Koncentrace S ve vzduchu a kyselost srážek

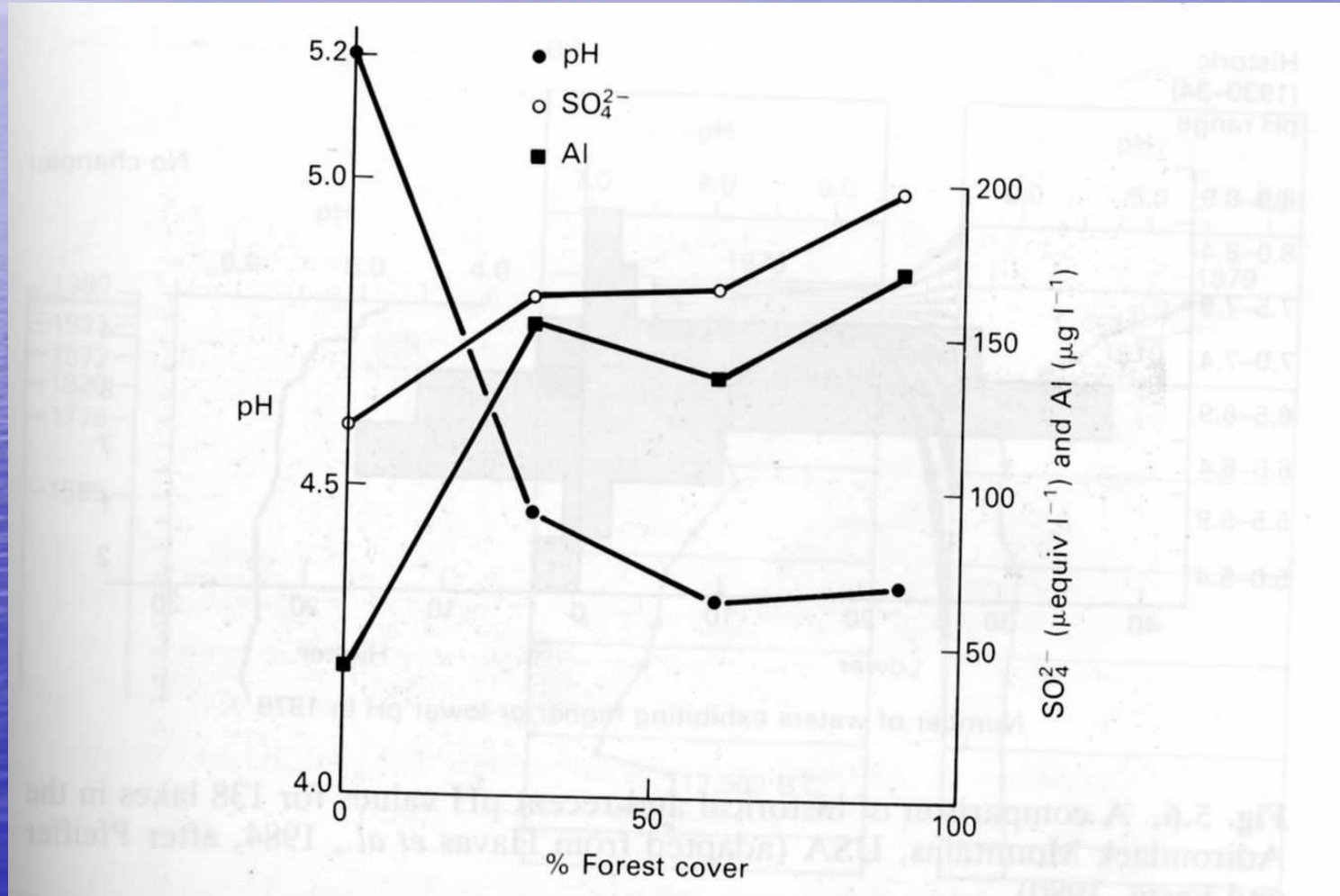


Vliv geologických podmínek

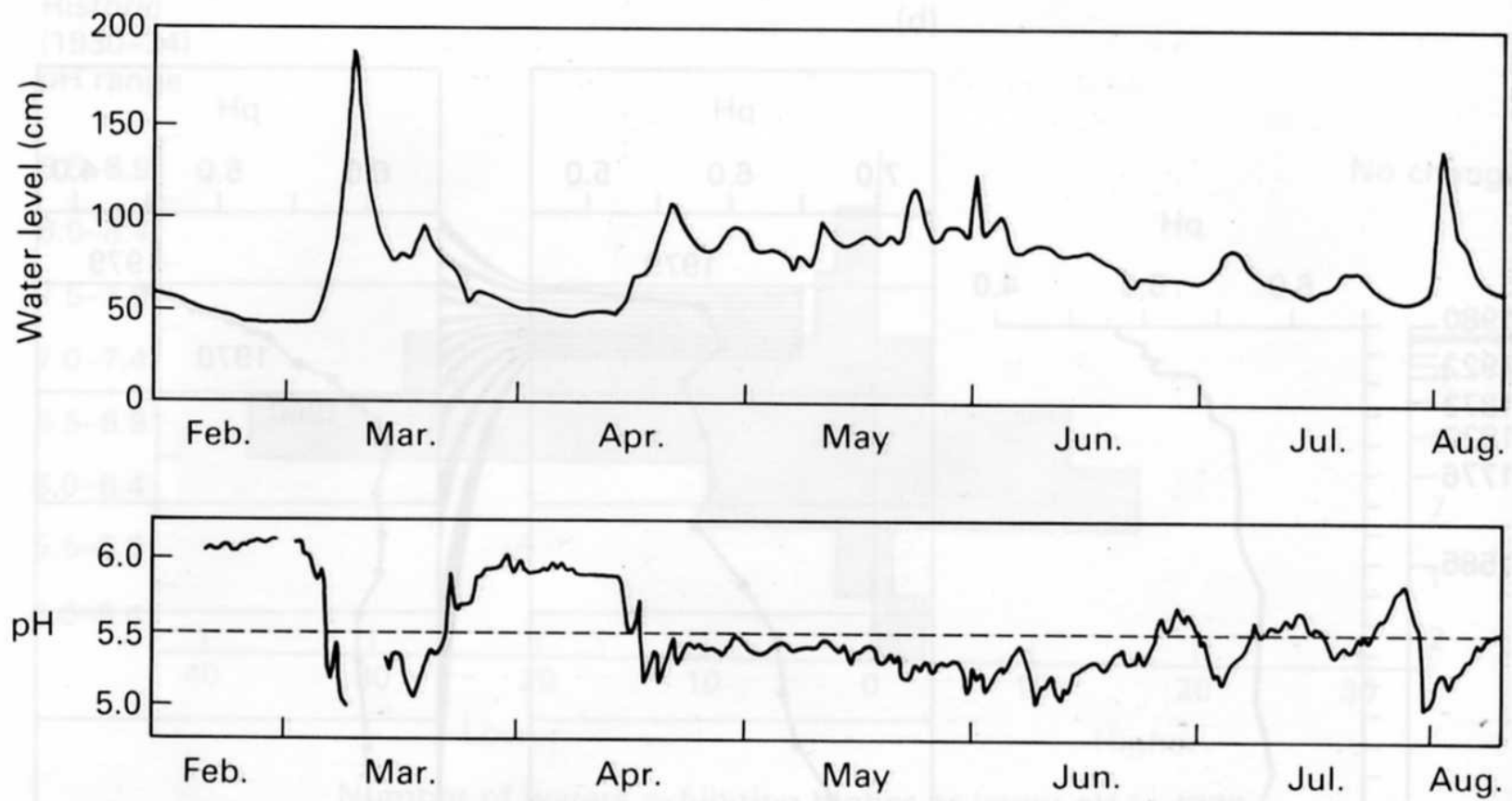
Kyselé horniny – žuly (granity,
granodiority), některé metamorfity



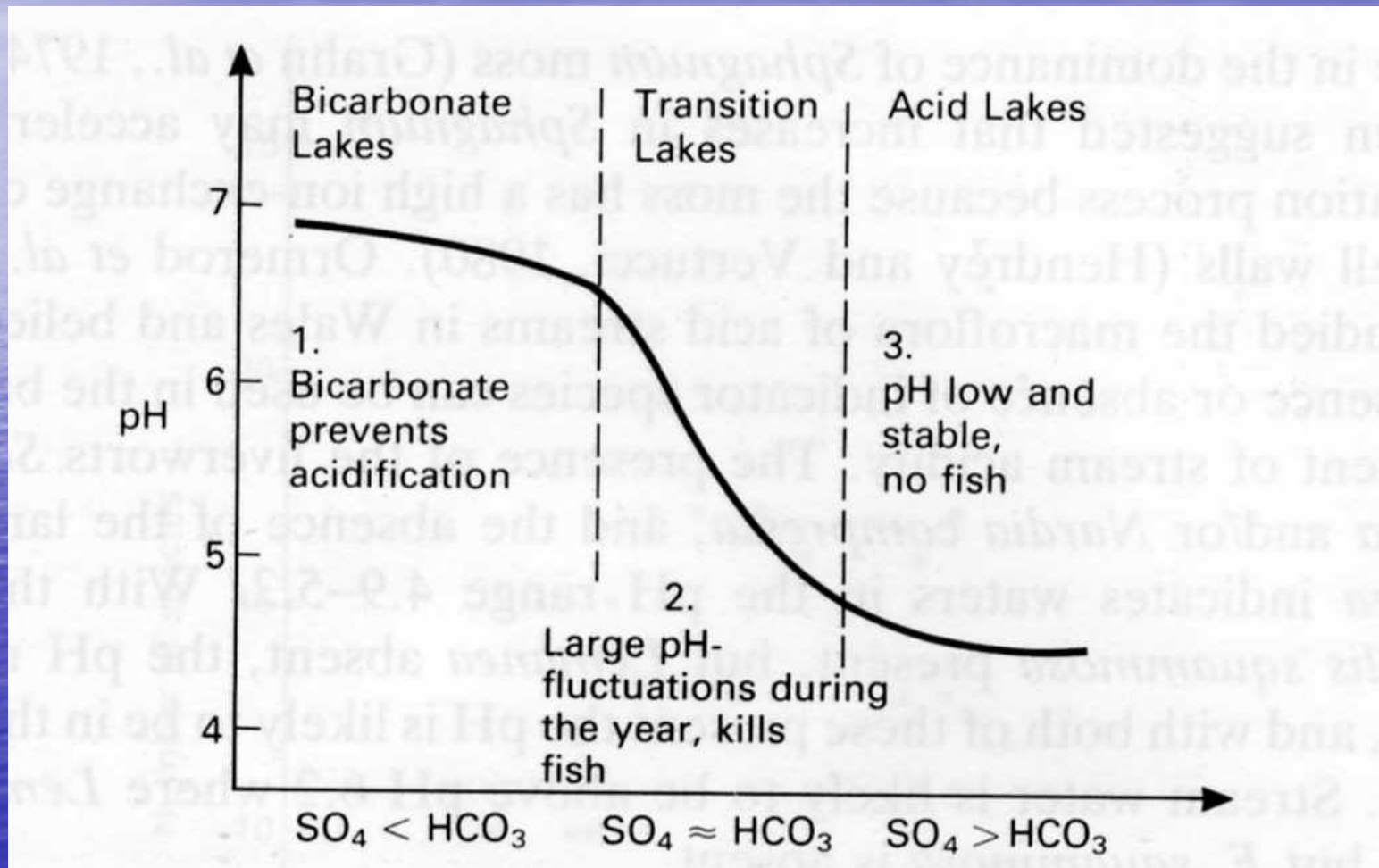
Vliv vegetačního krytu – typ lesa, luk a orné půdy



Sezónnost – tání sněhu, přívalové srážky, podzemní odtok



Acidifikace jezer



Acidifikace řek v Evropě

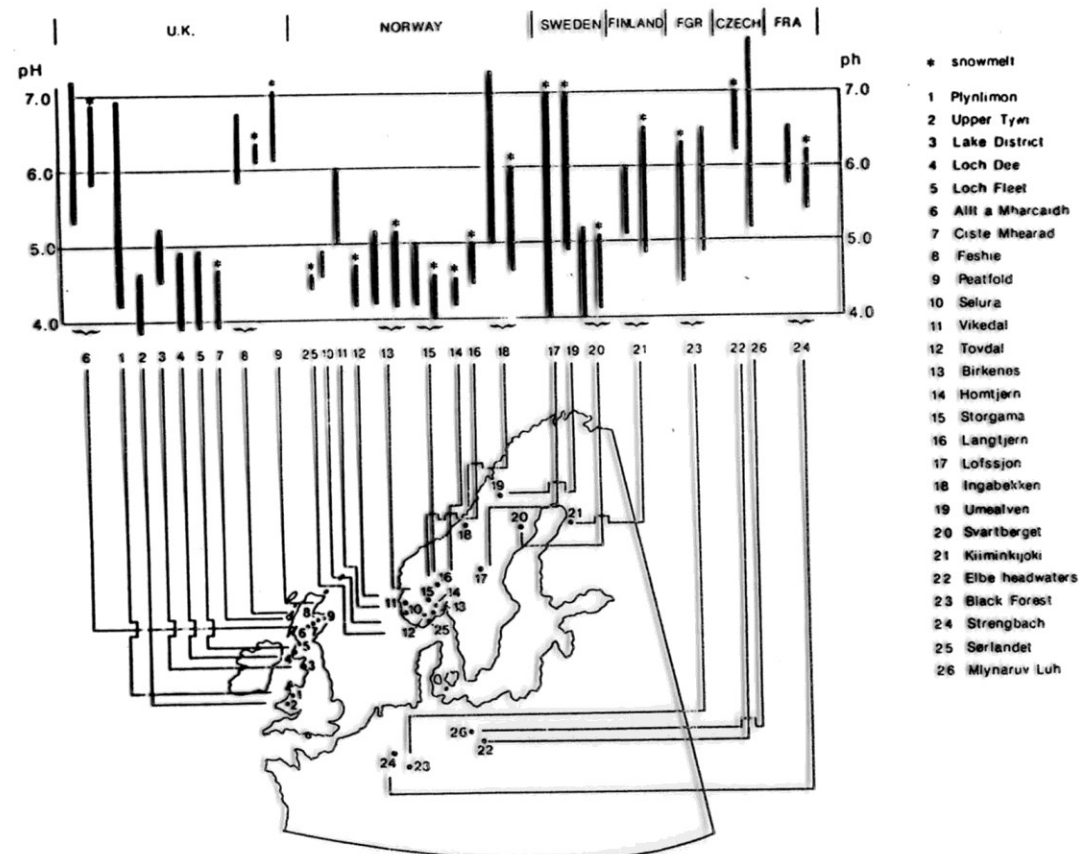
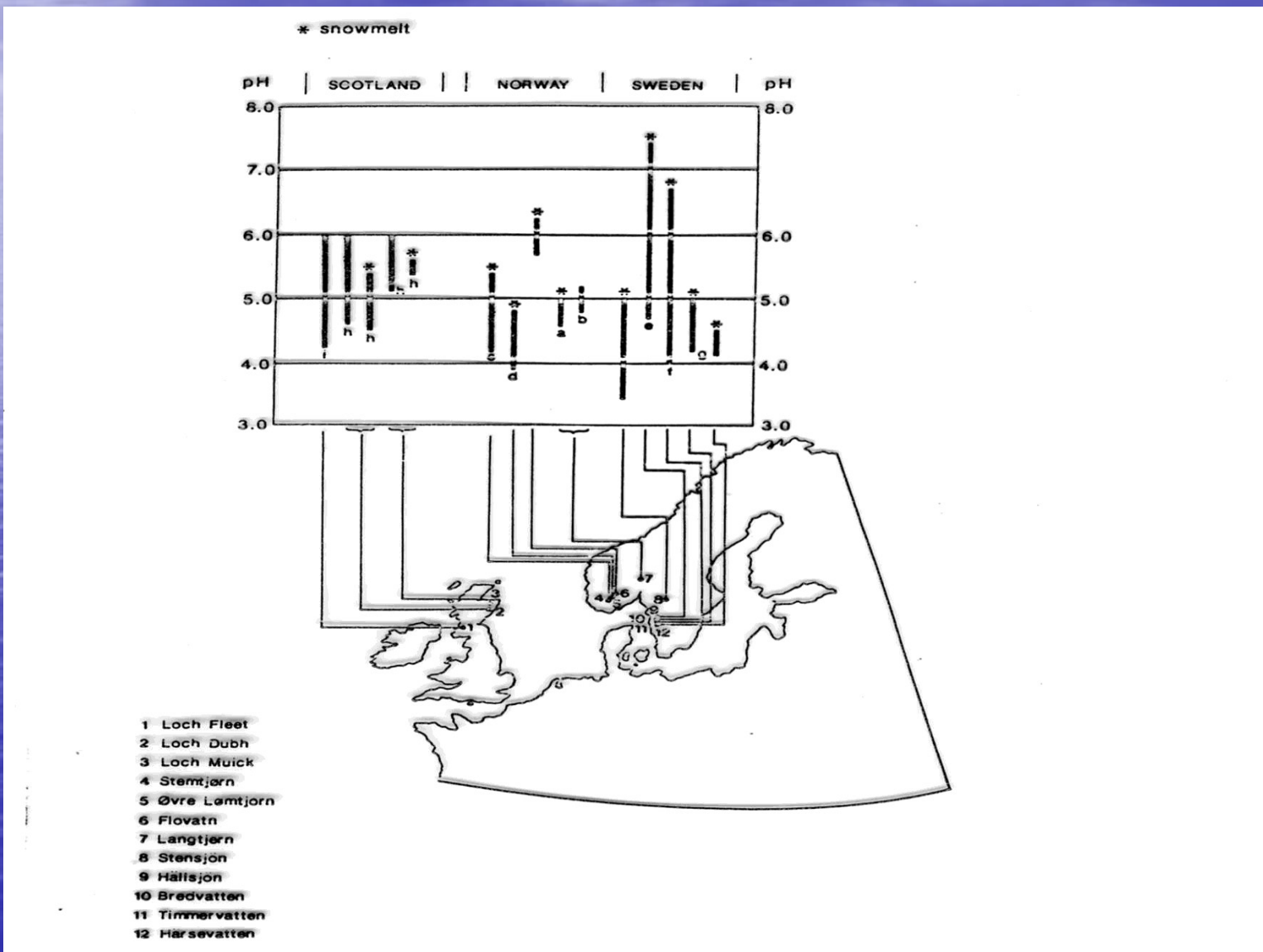


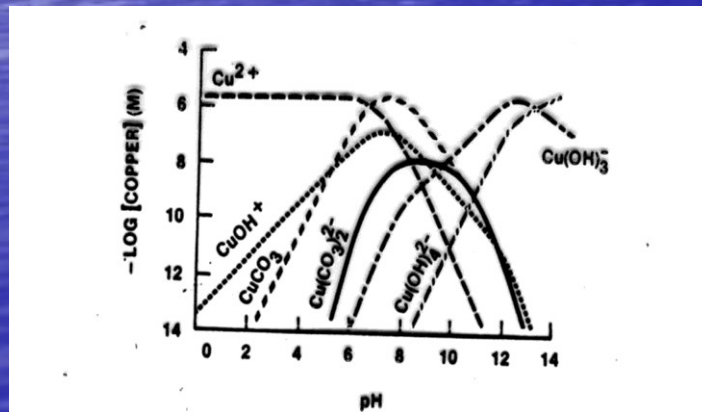
Fig. 2. Episodes in streams and rivers in Europe. The upper end of the bar represents the 'pre-episode' pH value and the lower end of the bar represents the minimum pH value during the most severe episode (see text) reported in various study catchments. The star denotes an episode induced by snowmelt.

Acidifikace jezer v Evropě



Acidifikace a chemie vody

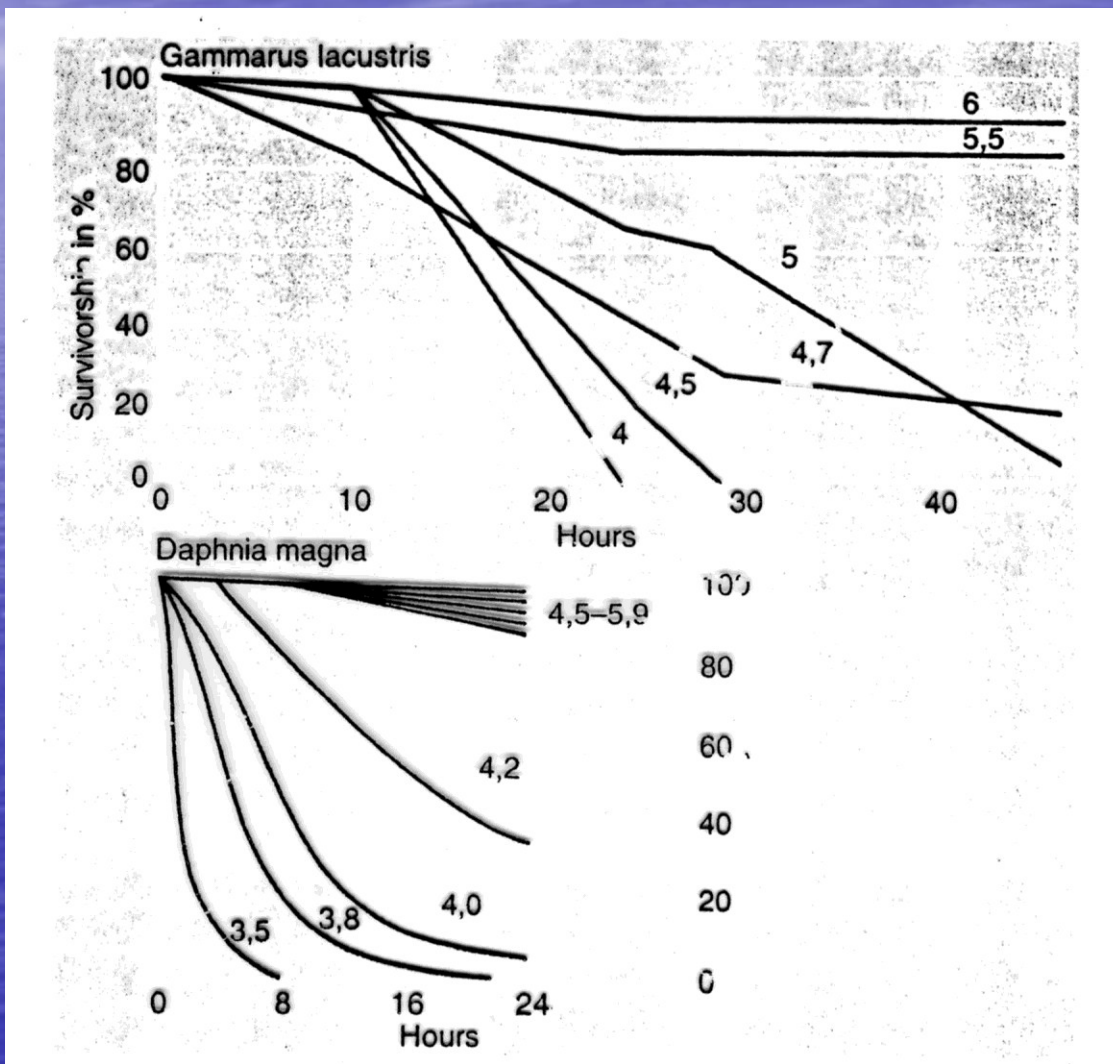
- Vysrážení Ca a Mg – sírany – nedostupné pro organismy
- Porušený hydrogen-karbonátový ústojný systém
- Speciace a změna rozpustnosti kovů a solí kovů, biodostupnost toxických kovů – Al, Cu, Zn aj.



Acidifikace a organismy

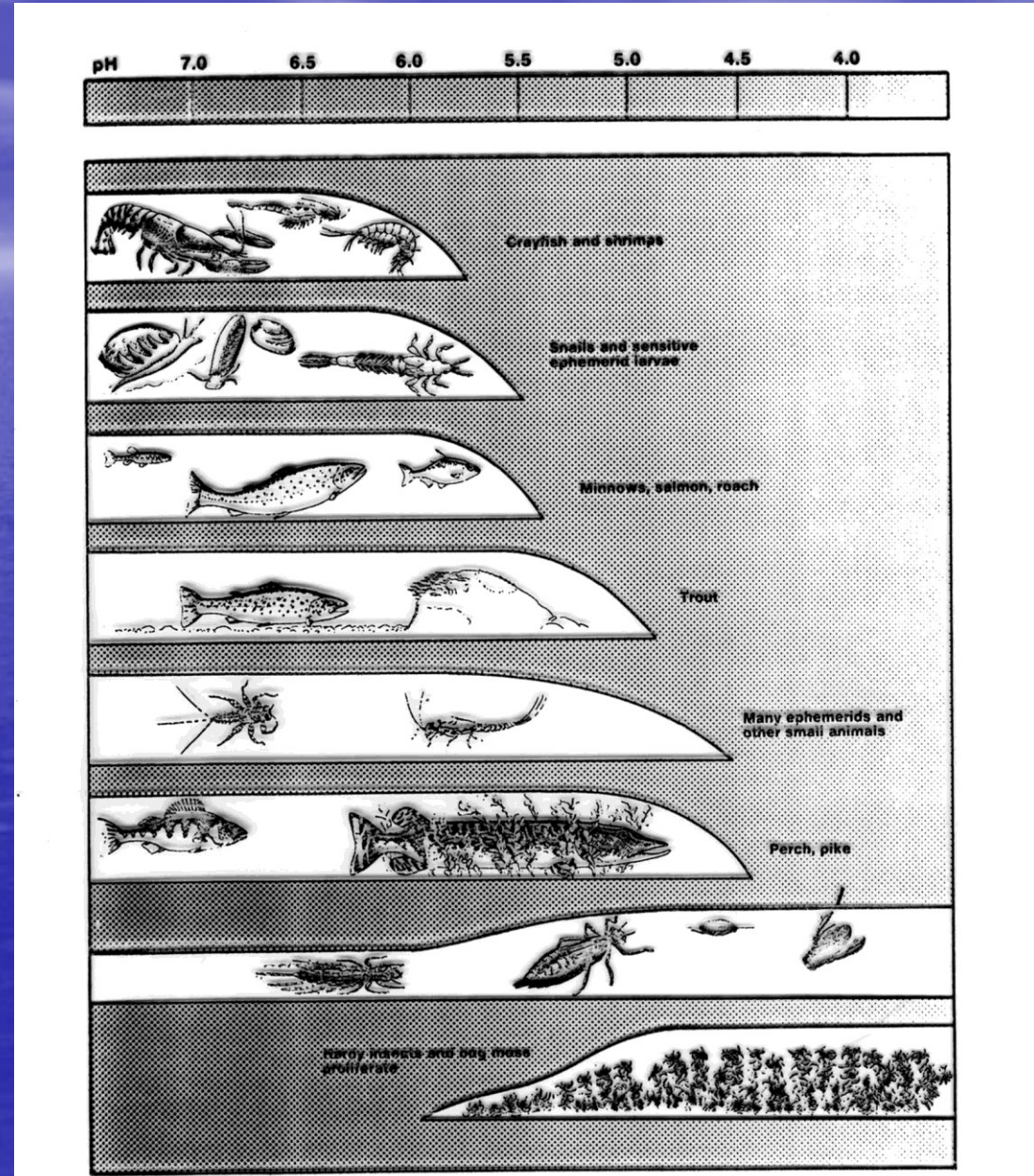
- Acidosenzitivní organismy
 - Vápenité vnější schránky a kostry, vnější žábra, nechráněná vývojová stádia, zpravidla permanentní organismy
- Acidotolerantní organismy
 - Dýchání celým povrchem těla, plastronové dýchání a nebo vzdušný kyslík, temporální organismy
- Domluvená hranice acidifikace povrchových vod pH 5.5, silná acidifikace pod pH 4.5

Acidifikace a organismy

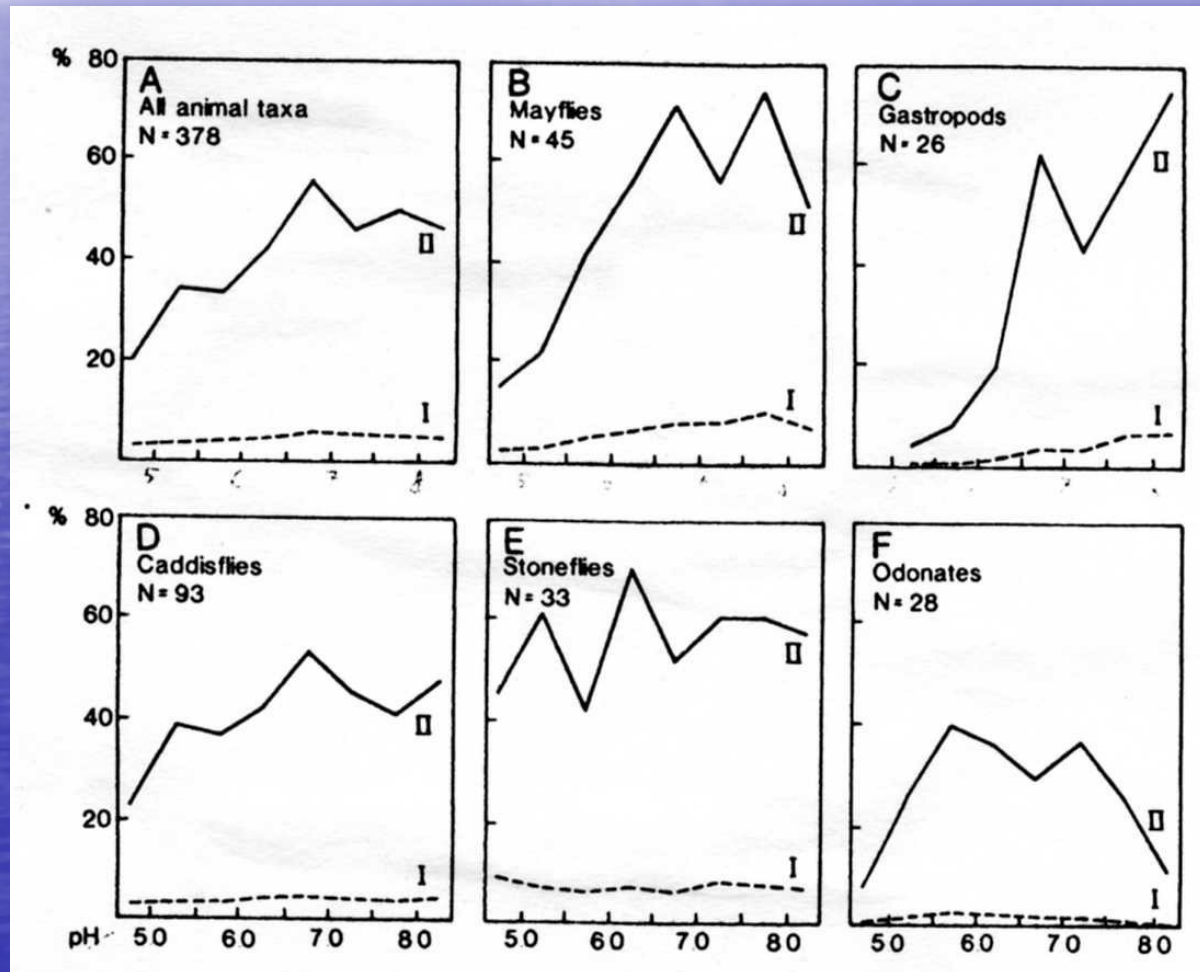


Acidifikace a organismy

úroveň rod
– druh

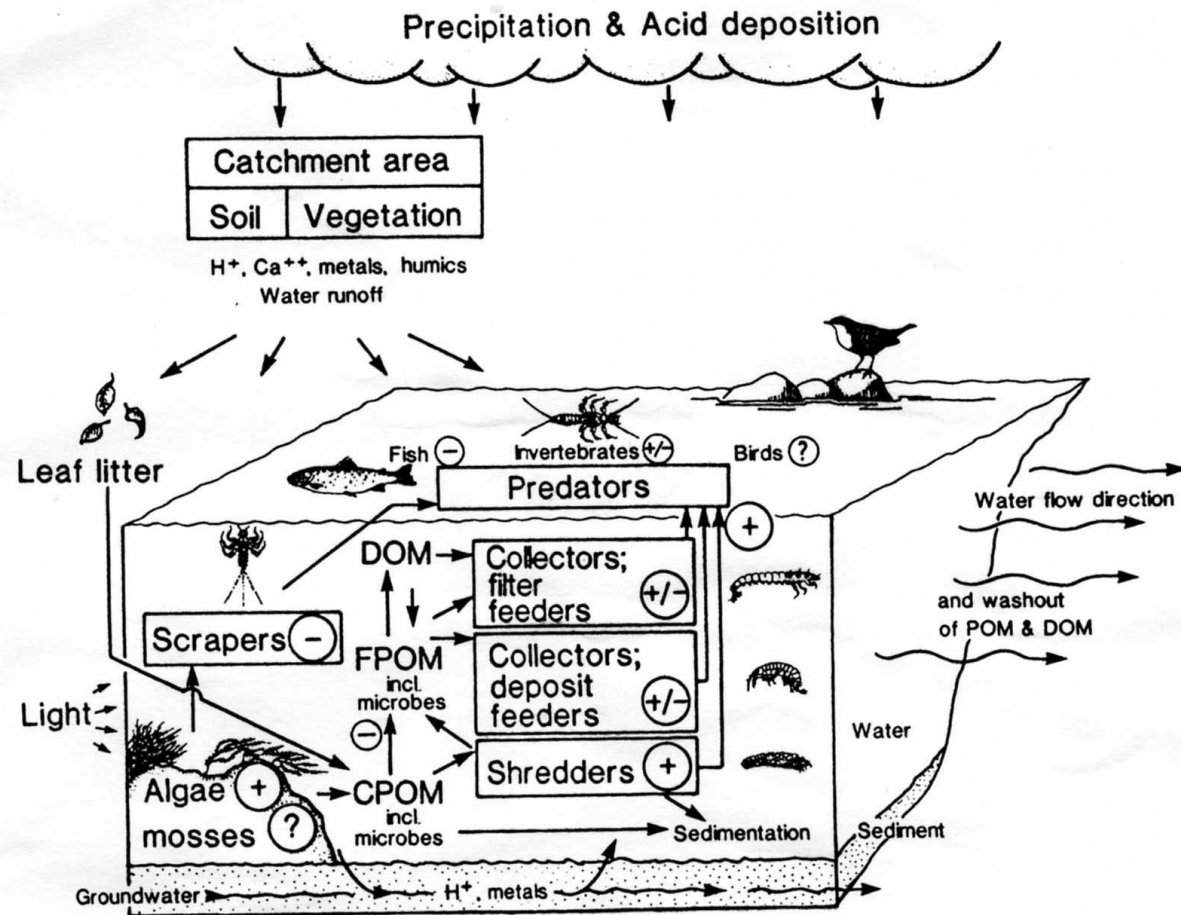


Acidifikace a organismy – úroveň vyšší taxonomické jednotky

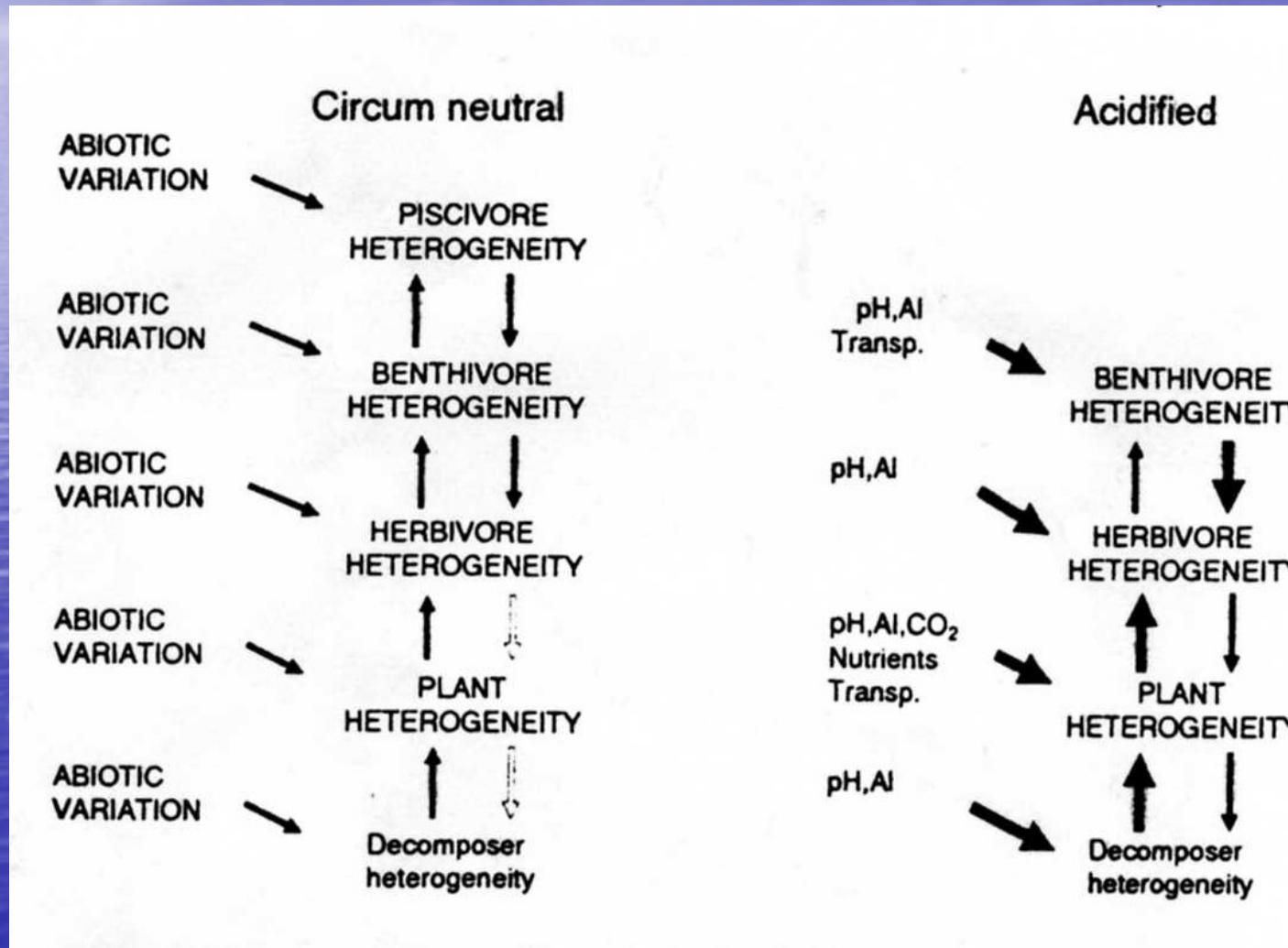


Acidifikace a organismy – úroveň společenstva

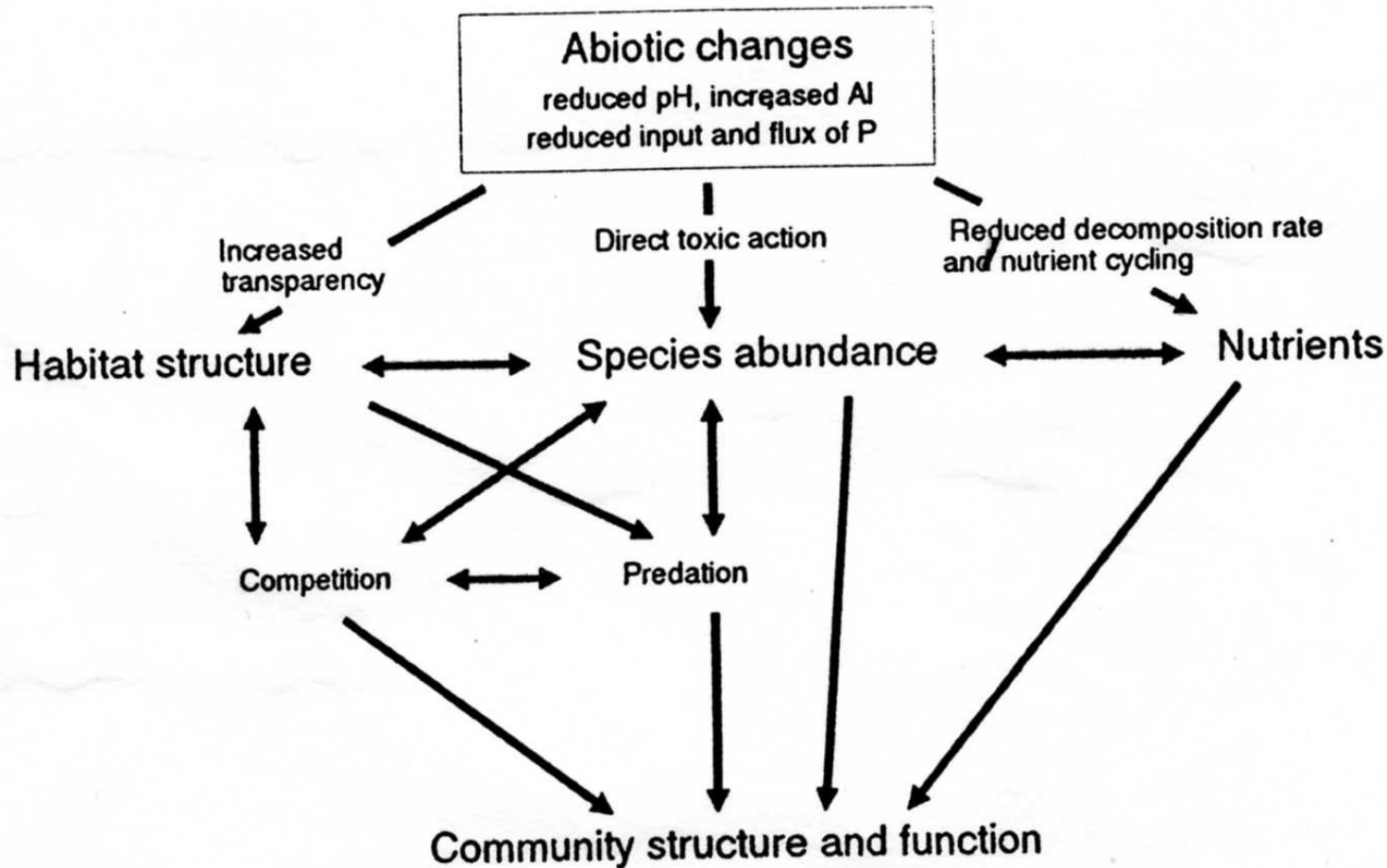
Figure 1. A stream section, showing the functional feeding groups and the flow of organic matter between these. CPOM = coarse particulate organic matter, FPOM = fine particulate organic matter, DOM = dissolved organic matter. The functional-feeding groups; *Scrapers* consume periphyton from stones and leaves; *shredders* consume CPOM; *deposit feeders* consume settled FPOM; *filter feeders* consume suspended FPOM, incl. small organisms and colloidal DOM; and *predators* consume animals. Known or supposed effects of acidification on the functional feeding groups indicated by + and - signs. Drawn by G. Marklund from ideas by A. Gerhardt and J. Herrmann.



Acidifikace a organismy - společenstva



Acidifikace a organismy - společenstva



Bioindikace acidifikace

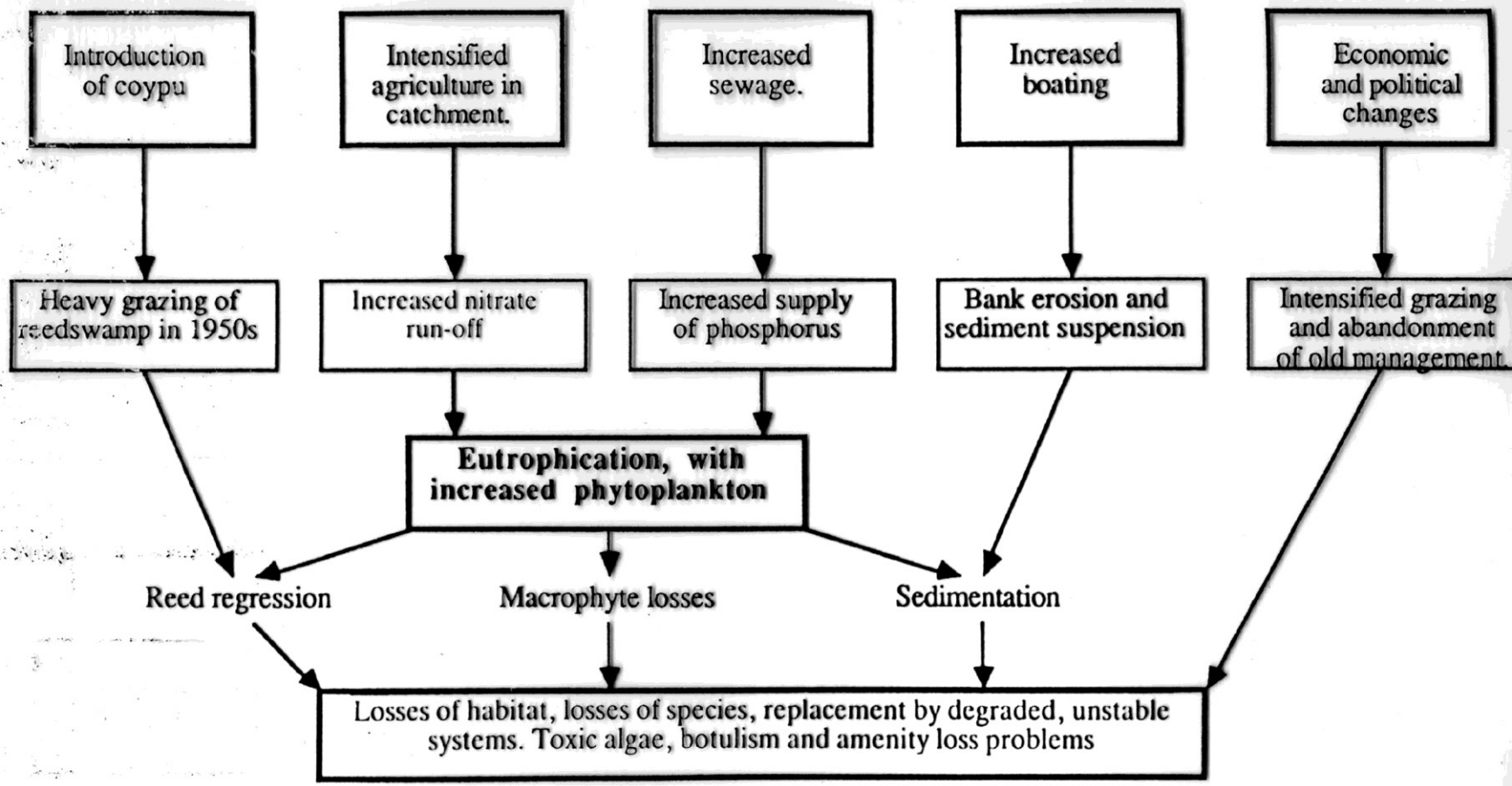
- Skóre systém
 - nad pH 5,5: 1 bod acidosenzitivní org.
 - pH 4,5- 5,5: 0,5 bodu acidotoleratní org.
 - pod pH 4,5: 0 bodu silně acidotoleratní org.
- Acidifikační index lokality – průměrná hodnota = rozmezí 0 - 1
- Acidifikační indexy organismů místě a geograficky závislé

Eutrofizace

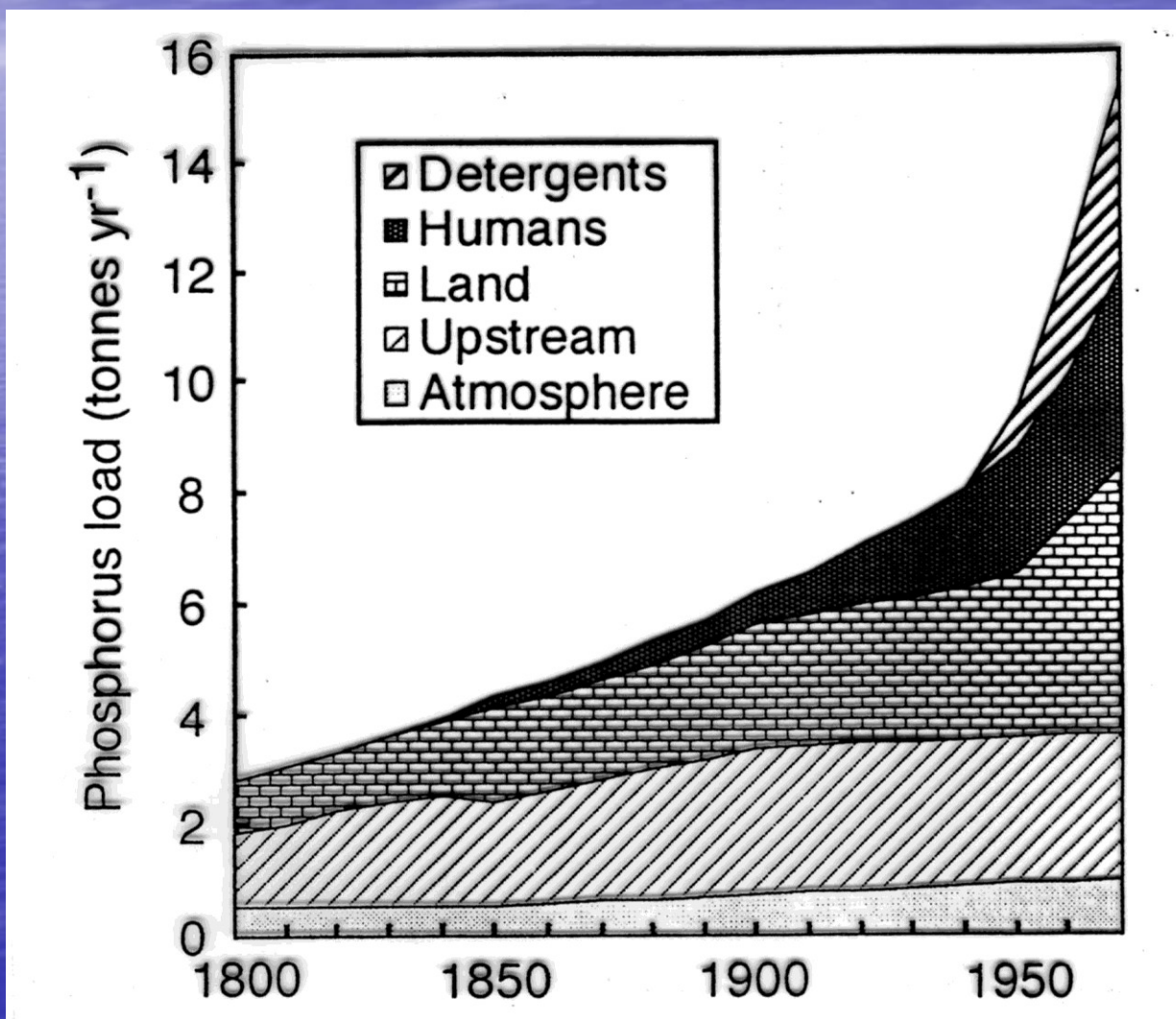
Zvyšování úživnosti ekosystémů

Zdroje živin

- Autochtonní
 - rozklad organické hmoty
 - vyluhování sedimentů a hornin
 - biogenní fixace dusíku – bakterie a cyanobakterie
- Allochtonní
 - eroze půdy – povrchový odtok
 - znečištění atmosféry NOx
 - odpadní vody – odtoky z ČOV bez terciálního čištění

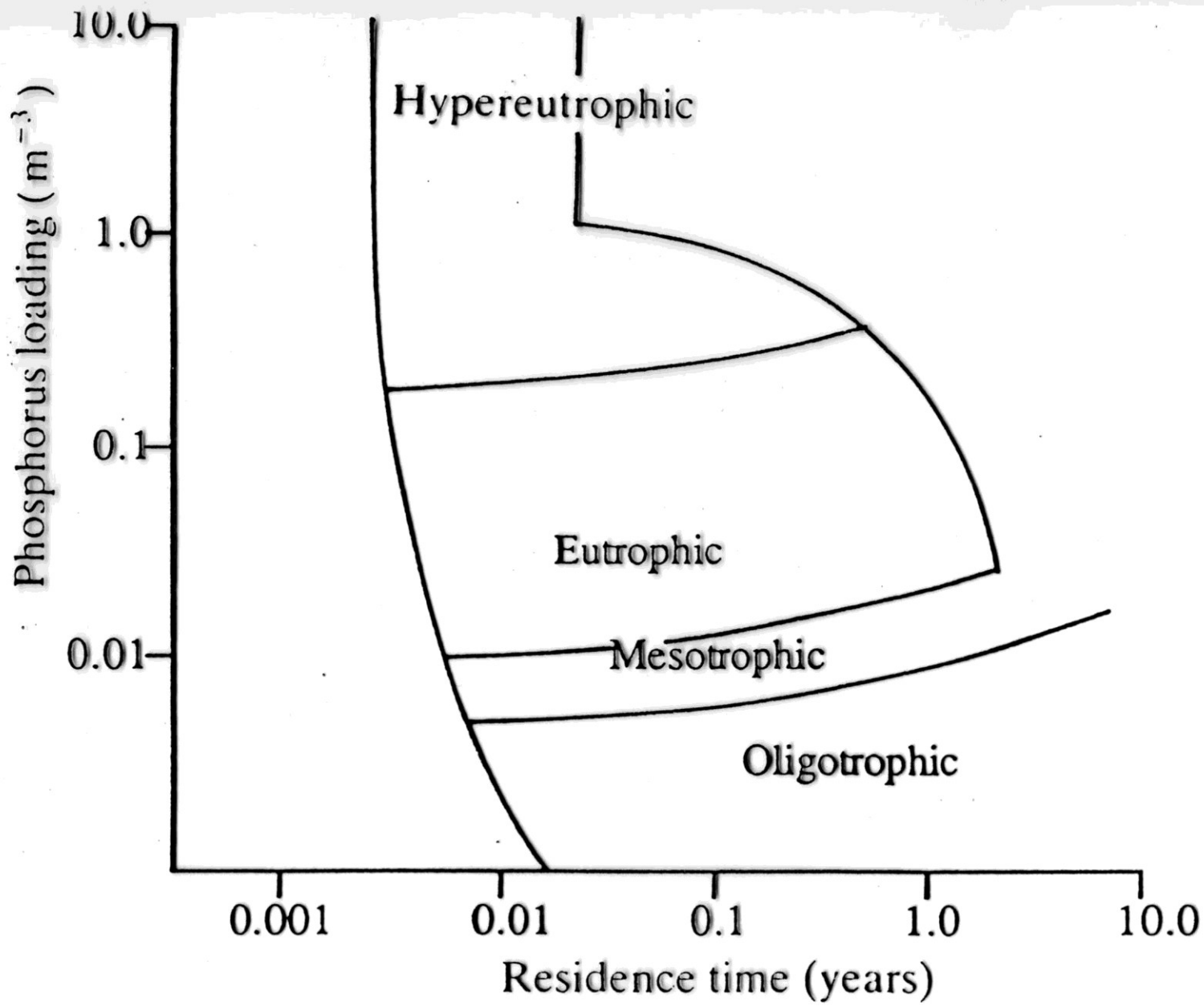


Zdroje fosforu



Stupně trofie

| Trophic status of lake | Characteristic | | | | |
|---------------------------|------------------------------|---|---|-------------------------------------|-------------------------------------|
| | Mean primary productivity | Phytoplankton biomass (mg C m^{-3}) | Total organic, carbon (Mg l^{-1}) | Total P ($\mu\text{g l}^{-1}$) | Total N ($\mu\text{g l}^{-1}$) |
| Dystrophic | <50–500 | <50–200 | 3.0–30 | <1.0–10 | <1.0–500 |
| Oligotrophic | 50–300 | 20–100 | <1.0–3.0 | <1.0–5.0 | <1.0–250 |
| Mesotrophic | 250–1000 | 100–300 | <1.0–5.0 | 10–30 | 500–1100 |
| Eutrophic | >1000 | >300 | 5.0–30 | | |
| Hypereutrophic | | | | 30–>5000 | 500–>15 000 |



(Bio) Indikace trofie

- Přímé stanovení živin – P a N, vypočet bilance vztažené na objem a čas
- Stanovení biodostupných živin
 - Metoda trofického potenciálu – laboratorní metoda, růstové testy na řase *Scenedesmus quadricauda* km. Greisfeld
 - Stanovení koncentrace řas a sinic jako chlorofyl a - in situ
- Bioindikační metody – analýza společenstva řas a sinic

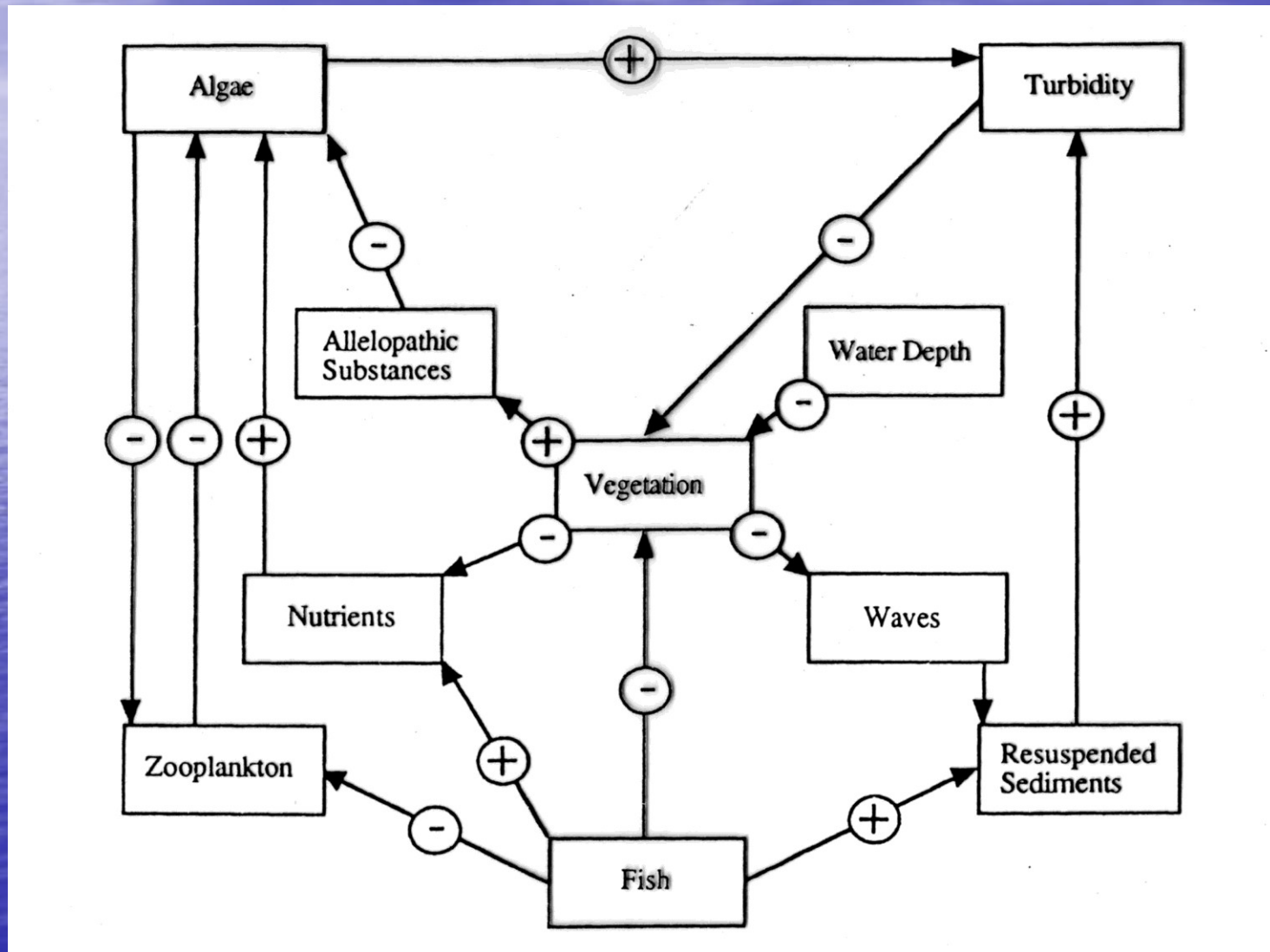
Analýza společenstva

| CONDITION | ENERGY LIMITED | ENERGY AND RESOURCES REPLETIE | RESOURCES LIMITED |
|---------------------|---|-------------------------------|--------------------------------|
| TYPICAL SEASONALITY | VERNAL PERIOD | EARLY - SUMMER PERIOD | LATE - SUMMER PERIOD |
| OLIGOTROPHIC | <div style="display: flex; justify-content: space-around;"> <div style="text-align: center;"> <i>Cyclotella spp</i> <i>Urosolenia spp</i> </div> <div style="text-align: center;"> <i>Peridinium willei</i> <i>Ceratium hirundinella</i> <i>Gomphosphaeria</i> <i>Staurodesmus</i> </div> </div> | A | <i>L</i> , <i>O</i> |
| MESOTROPHIC | <div style="display: flex; justify-content: space-around;"> <div style="text-align: center;"> <i>Asterionella formosa</i> <i>Cyclotella spp</i> <i>Melosira italica</i> <i>Synedra spp</i> </div> <div style="text-align: center;"> <i>Dinobryon</i> <i>Mallomonas</i> </div> <div style="text-align: center;"> <i>Peridinium</i> <i>Ceratium</i> <i>Gomphosphaeria</i> </div> </div> | B | <i>E</i> , <i>I</i> , <i>M</i> |
| | <div style="display: flex; justify-content: space-around;"> <div style="text-align: center;"> <i>Ankistrodesmus</i> <i>Chlorella</i> </div> <div style="text-align: center;"> <i>Sphaerocystis</i> <i>Gemellacystis</i> <i>Coenococcus</i> <i>Oocystis lacustris</i> </div> <div style="text-align: center;"> <i>Asterionella</i> <i>Tabellaria foveolosa</i> <i>Fragilaria cotonensis</i> <i>Cosmarium spp</i> <i>Staurastrum spp</i> </div> </div> | X | <i>F</i> , <i>N</i> |
| | <div style="display: flex; justify-content: space-around;"> <div style="text-align: center;"> <i>Cryptomonas / Rhodomonas</i> </div> <div style="text-align: center;"> <i>Planktothrix rubescens / mougeotii</i> </div> <div style="text-align: center;"> <i>R</i> </div> </div> | Y | |
| EUTROPHIC | <div style="display: flex; justify-content: space-around;"> <div style="text-align: center;"> <i>Asterionella</i> <i>Fragilaria</i> <i>Stephanodiscus spp</i> </div> <div style="text-align: center;"> <i>Endomma</i> <i>Pseudosorus</i> G <i>Volvic</i> T <i>Tribonema</i> </div> <div style="text-align: center;"> <i>Aphanizomenon</i> <i>Anabaena spp</i> <i>Gloeotrichia</i> H </div> <div style="text-align: center;"> <i>Ceratium</i> <i>Microcystis</i> </div> </div> | C | <i>M</i> |
| | <div style="display: flex; justify-content: space-around;"> <div style="text-align: center;"> <i>Ankistrodesmus</i> <i>Elakatothrix</i> <i>Scenedesmus</i> <i>Tetraselmis</i> </div> <div style="text-align: center;"> <i>e.g. Ankyra</i> <i>Chromalina</i> <i>Monodus</i> </div> <div style="text-align: center;"> <i>Asterionella</i> <i>Fragilaria</i> <i>Melosira granulata</i> <i>Closterium spp</i> <i>Staurastrum</i> </div> </div> | X | <i>P</i> , <i>Y</i> |
| | <div style="display: flex; justify-content: space-around;"> <div style="text-align: center;"> <i>Cryptomonas / Rhodomonas</i> </div> <div style="text-align: center;"> <i>Diatoma</i> D <i>Stephanodiscus spp</i> <i>Synedra spp</i> </div> <div style="text-align: center;"> <i>Pediastrum</i> <i>Coelastrum</i> <i>Oocystis borgei</i> </div> <div style="text-align: center;"> <i>Aphanocapsa</i> <i>Aphaniohece</i> </div> </div> | | <i>K</i> |
| HYPERTROPHIC | <div style="display: flex; justify-content: space-around;"> <div style="text-align: center;"> <i>Ankistrodesmus</i> <i>Crucigenia</i> <i>Scenedesmus</i> <i>Tetraselmis</i> </div> <div style="text-align: center;"> <i>Cryptomonas / Rhodomonas</i> </div> <div style="text-align: center;"> <i>Planktothrix agardhii / Limnothrix</i> </div> </div> | J | <i>X</i> , <i>Y</i> , <i>S</i> |

Potlačování eutrofizace

- Odstranění zdrojů z povodí
 - Bodové zdroje – ČOV, odpadní vody
 - Plošné zdroje – eroze půdy, znečištění ovzduší
- Zákaz fosfátových detergentů
- Omezení užití umělých hnojiv
- Otěžení sedimentů z nádrží
- Biomanipulace

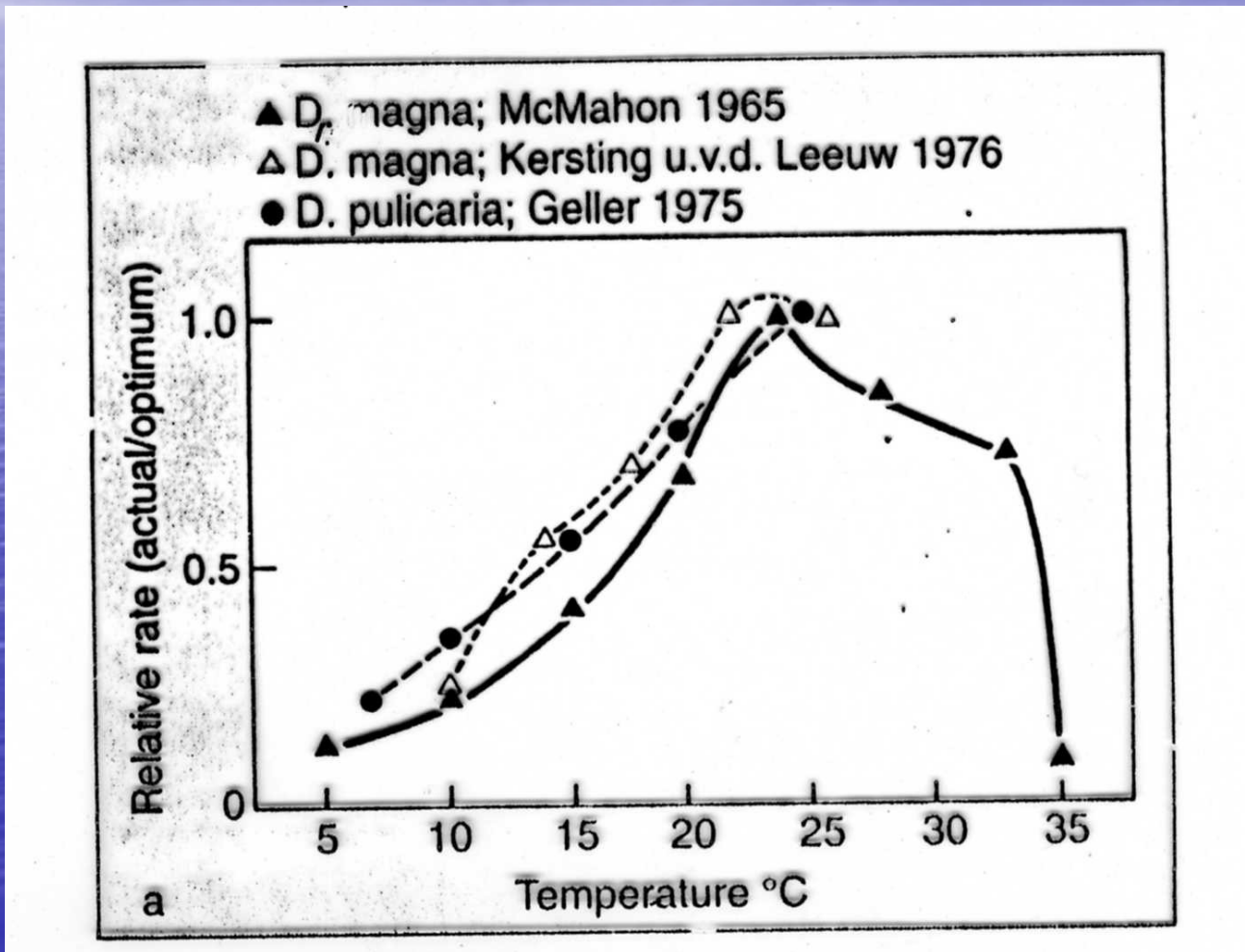
Biomanipulace s rybí obsádkou



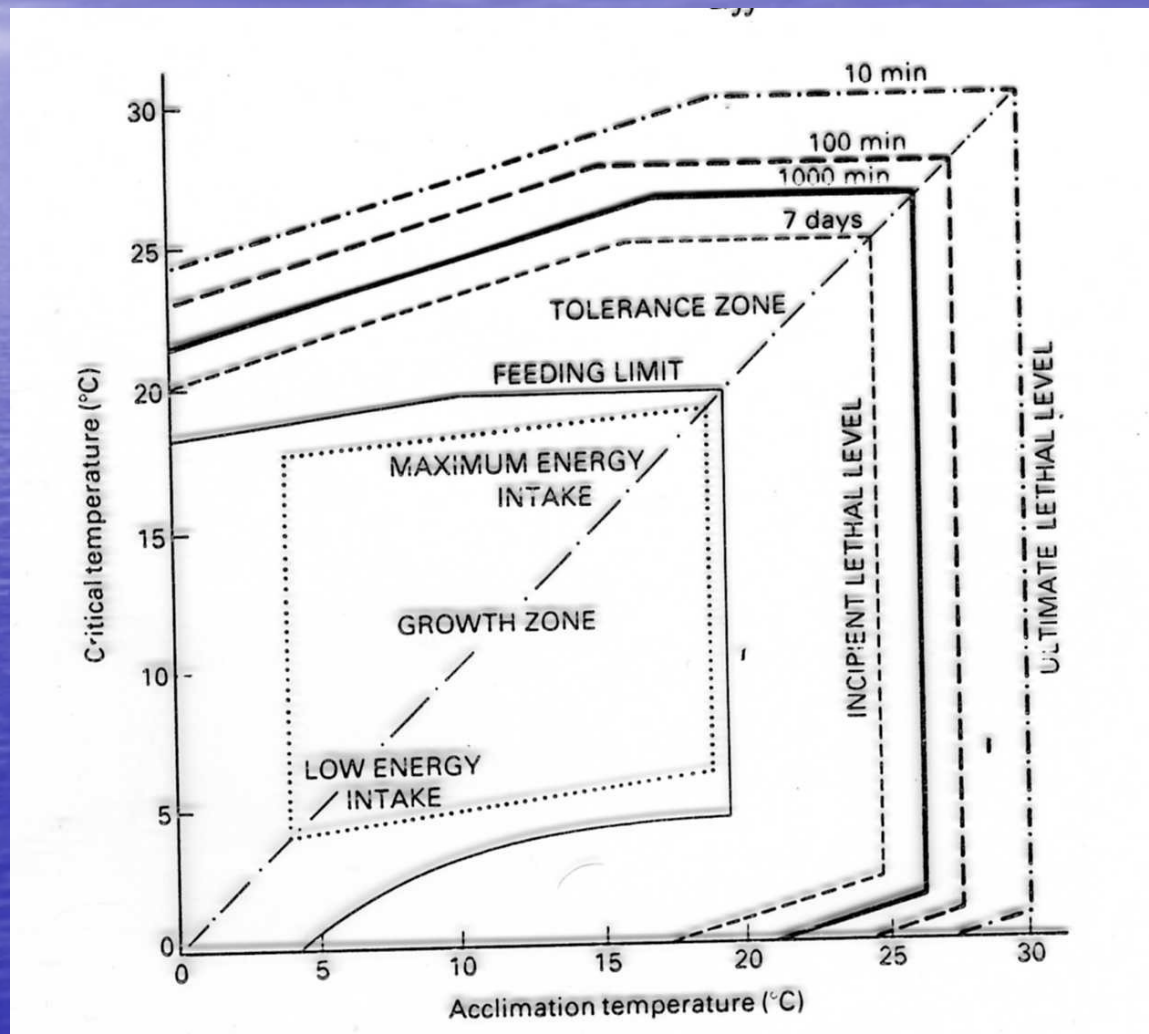
Oteplování ekosystémů

Bodové a globální

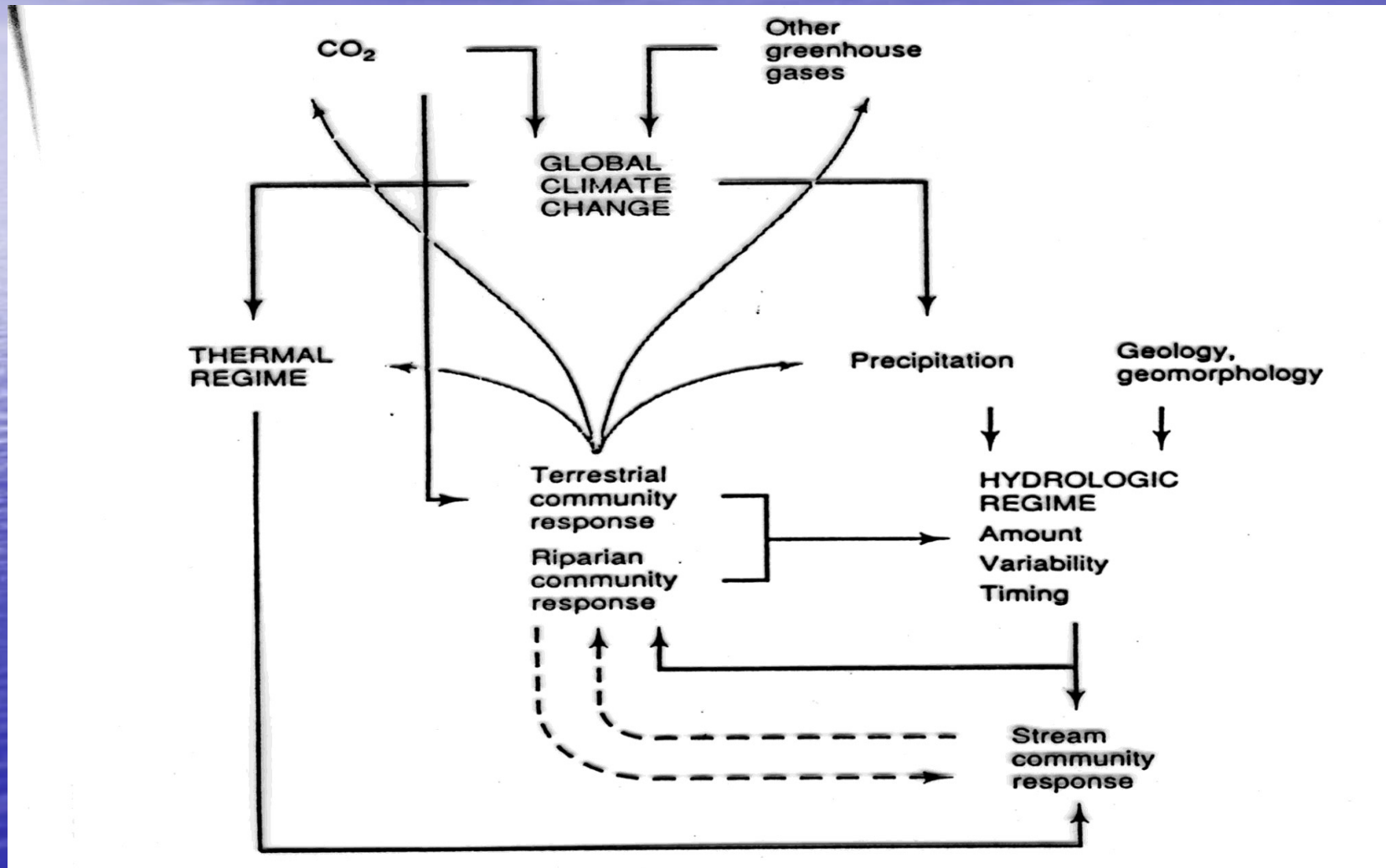
Tolerance vodních organismů k změnám teploty



Kritická a aklimatizační teplota



Globální oteplování – změny klimatu



Polutanty

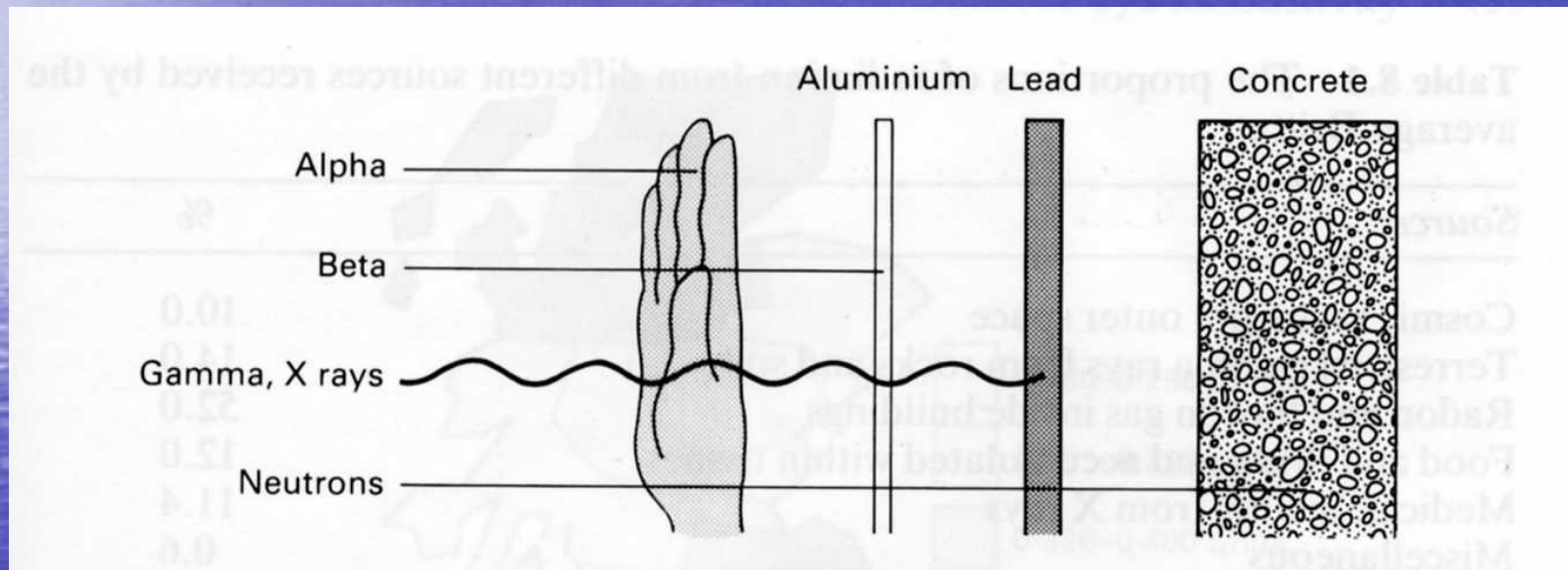
Radionuklidы

Toxické kovy

Ropné látky a polyaromatické
uhlovodíky (PAH)

Perzistentní organické polutanty

Radioaktivní (ionizující) záření



Zdroje radioaktivního záření

| <i>Source</i> | <i>%</i> |
|---|----------|
| Cosmic rays from outer space | 10.0 |
| Terrestrial gamma rays from rocks and soil | 14.0 |
| Radon and thoron gas inside buildings | 52.0 |
| Food and drink and accumulated within tissues | 12.0 |
| Medical, mainly from X rays | 11.4 |
| Miscellaneous | 0.6 |
| Nuclear industry | 0.004 |

Místa akumulace a působení, poločas rozpadu

| <i>Nuclide</i> | <i>Half-life</i> | |
|-------------------|----------------------|----------------------------------|
| ^3H | 12.4 yr | Assimilated by body in water |
| ^{14}C | 5730 yr | Passed up food chain |
| ^{32}P | 14.3 days | Concentrated in bones |
| ^{40}K | 1.3×10^9 yr | Found throughout body |
| ^{90}Sr | 28.9 yr | Concentrated in bones |
| ^{131}I | 8.1 days | Concentrated in thyroid |
| ^{137}Cs | 30.2 yr | Found throughout body |
| ^{226}Ra | 1622 yr | Concentrated in bones |
| ^{238}U | 4.5×10^9 yr | Concentrated in lungs and kidney |

Kontaminace různých organismů ^{137}Cs po havárii v Černobylu

| | | ^{137}Cs (Bq kg ⁻¹) |
|---|--|---|
| Fish | | |
| Trout (<i>Salmo trutta</i>) | | 18 700 |
| Perch (<i>Perca fluviatilis</i>) | | 14 240 |
| Grayling (<i>Thymallus thymallus</i>) | | 10 590 |
| Char (<i>Salvelinus alpinus</i>) | | 9 890 |
| Rainbow trout (<i>Salmo gairdneri</i>) | | 6 280 |
| Pike (<i>Esox lucius</i>) | | 4 690 |
| Bream (<i>Abramis brama</i>) | | 3 840 |
| Whitefish (<i>Coregonus lavaretus</i>) | | 3 130 |
| Ide (<i>Leuciscus idus</i>) | | 2 840 |
| Crucian carp (<i>Carassius carassius</i>) | | 1 870 |
| Roach (<i>Rutilus rutilus</i>) | | 980 |
| Vendace (<i>Coregonus albula</i>) | | 81 |
| Herring (<i>Clupea harengus</i>) | | 23 |
| Atlantic codfish (<i>Gadus morhua</i>) | | 2 |
| Pike perch (<i>Stizostedion lucioperca</i>) | | 2 |
| Aquatic birds | | |
| Canada goose (<i>Branta canadensis</i>) | | 3 840 |
| Mallard duck (<i>Anas platyrhynchos</i>) | | 1 290 |
| Wigeon (<i>Anas penelope</i>) | | 1 190 |
| Red-breasted Merganser (<i>Mergus serrator</i>) | | 110 |
| Diver (<i>Gavia</i> sp.) | | 107 |
| Greylag goose (<i>Anser anser</i>) | | 64 |
| Shellfish | | |
| Signal Crayfish (<i>Pacifastacus leniusculus</i>) | | 2 280 |
| Crayfish (<i>Astacus astacus</i>) | | 1 180 |

Toxické kovy

- Hg – bioakumulace v tukových tkáních, oragnosloučeniny – metylrtut' a etylrtut', akutní a chronická toxicita
- Cd – bioakumulace v tukových tkáních, chronická toxicita
- Pb – dtto, metylolovo, etylolovo, chronická toxicita
- As, Co, V, Ni, Cr, Zn – biokoncentrace, přímá akutní toxicita

Příklad – kontaminace Hg potravních řetězců v jezeře

| <i>Material</i> | <i>Mercury concentration</i> |
|------------------------|------------------------------|
| Sediment | 87–114 |
| Phytoplankton | 15 |
| Higher plants | 9 |
| Zooplankton | 13 |
| Herbivorous zoobenthos | 77 |
| Carnivorous zoobenthos | 83 |
| Herbivorous fish | 332–500 |
| Carnivorous fish | 604–1510 |
| Insectivorous duck | 240 |
| Piscivorous birds | 2512–13 685 |

Organické polutany

- Ropné uhlovodíky a polyaromatické uhlovodíky (PaHs)
- Polychrované bifenyly (PCBs)
- Polychrované dibenzodioxiny (PCDDs)
- Polychlorované dibenzofurany (PCDFs)
- Polybromované bifenyly (PBBs)
- Chlorované pesticidy
- Organofosforové pesticdy
- Carbamatové pesticidy
- Pyretroidy
- Fenoxy herbicidy
- Chlorfenoly a chlorkresoly
-